

ОБ ОДНОМЕРНЫХ ДВИЖЕНИЯХ ГАЗА В МАГНИТНОМ ПОЛЕ,  
СОПРОВОЖДАЮЩИХСЯ УДАРНЫМИ ВОЛНАМИ

В. П. Коробейников

(Москва)

Отмечаются некоторые свойства уравнений одномерных нестационарных движений идеально-проводящего газа с цилиндрическими и плоскими волнами в присутствии магнитного поля.

Используя эти свойства, рассматривается в гидродинамическом приближении задача об обратном пинч-эффекте при некоторых законах нарастания тока.

Изучается задача о сильном взрыве в газе с учетом влияния магнитного поля. Основное внимание уделяется рассмотрению движений, обладающих цилиндрической симметрией.

**1. Основные уравнения и их свойства.** Рассмотрим одномерные неустановившиеся движения совершенного электропроводного газа с цилиндрическими и плоскими волнами при наличии магнитного поля. Вектор  $\mathbf{H}$  направлен перпендикулярно траекториям движения частиц газа. В цилиндрическом случае вектор поля  $\mathbf{H}$  может быть, в частности, направлен вдоль оси симметрии, по касательным к концентрическим окружностям с центром на оси симметрии или, в общем случае, создает винтовое поле с компонентами  $H_\varphi$  и  $H_z$  (магнитные силовые линии — винтовые линии).

Если считать все диссипативные коэффициенты равными нулю, то уравнения магнитной гидродинамики для рассматриваемых движений могут быть записаны так:

$$\rho \frac{dv}{dt} = - \frac{\partial}{\partial r} (p + h) - \frac{2(v-1)}{r} h_\varphi, \quad \frac{d\rho}{dt} = - \rho \left( \frac{\partial v}{\partial r} + \frac{(v-1)v}{r} \right) \quad (1.1)$$

$$\frac{d}{dt} \left( \frac{p}{\rho^\gamma} \right) = 0, \quad \frac{d}{dt} \frac{h_\varphi}{r^2 \rho^2} = 0, \quad \frac{d}{dt} \frac{h_z}{\rho^2} = 0 \quad (1.2)$$

Здесь  $v$  — скорость,  $r$  — координата,  $\nu = 1, 2$ , соответственно, в случаях плоской и цилиндрической симметрии,

$$\frac{d}{dt} = \frac{\partial}{\partial t} + v \frac{\partial}{\partial r}, \quad h = h_z + (v-1)h_\varphi, \quad h_z = \frac{1}{8\pi} H_z^2, \quad h_\varphi = \frac{1}{8\pi} H_\varphi^2$$

Будем рассматривать три типа ударных волн: газодинамические, магнитогидродинамические и ударные со скачком проводимости, ионизирующие газ [1]. Условия на газодинамических ударных волнах имеют вид

$$\begin{aligned} [\rho(v-D)] &= 0, & [p + \rho v(v-D)] &= 0 \\ \left[ (v-D) \left( \frac{1}{\gamma-1} p + \frac{1}{2} \rho v^2 \right) + p v \right] &= 0 \end{aligned} \quad (1.3)$$

Для магнитогидродинамических ударных волн в среде с бесконечной проводимостью имеем

$$\begin{aligned} [\rho(v-D)] &= 0, & [\rho v(v-D) + p + h] &= 0 \\ \left[ (v-D) \left( \frac{1}{\gamma-1} p + \frac{\rho v^2}{2} + h \right) + (p+h)v \right] &= 0 \\ [h_\varphi(v-D)^2] &= 0, & [h_z(v-D)^2] &= 0 \end{aligned}$$

Для ударных волн со скачком проводимости будем предполагать, что  $\mathbf{H}$  при переходе через поверхность разрыва остается непрерывным. Это

означает, что магнитная вязкость в ударном слое считается больше других диссипативных коэффициентов [4]. Разрывы же других величин подчиняются газодинамическим условиям (1.3). В условиях (1.3), (1.4) через  $D$  обозначена скорость ударной волны; квадратными скобками обозначена разность значений величин на сторонах поверхности разрыва.

Отметим некоторые свойства системы (1.1), (1.2) и уравнений (1.4), которые нам потребуются в дальнейшем.

*Свойство 1.1.* Величины  $p/\rho^\gamma$ ,  $h_\varphi/r^2\rho^2$ ,  $h_z/\rho^2$  сохраняются в частице в области непрерывности движения. Это следует из уравнений (1.2).

*Свойство 1.2* При  $\gamma = 2$  система (1.1) — (1.2) имеет очевидный интеграл  $p = \Phi_1(\xi) h_z$ , где  $\Phi_1(\xi)$  — произвольная функция лангранжевой координаты  $\xi$ .

Отсюда следует, что если известно решение системы (1.1) — (1.2) при  $\gamma = 2$ ,  $h_z = 0$ , то легко найти решение этой системы и для случая  $\gamma = 2$ ,  $h_z \neq 0$ . В частности, зная решение обычных газодинамических уравнений при  $\gamma = 2$ , получаем решение уравнений (1.1), (1.2) при  $h_\varphi = 0$ , содержащее дополнительно одну произвольную функцию от  $\xi$  (этот факт отмечался рядом авторов, см. [2,3,4]).

Отметим также, что при  $\gamma = 2$  в случае магнитогидродинамических ударных волн замена вида  $p^* = p + h_z$  приводит (1.4) к виду условий с  $h_z = 0$ , если не обращать внимания на условие вмороженности для  $h_z$ .

*Свойство 1.3.* Так как система (1.1) — (1.2) не содержит никаких размерных констант, то для тех задач, в дополнительные (граничные и начальные) условия которых войдут только две размерные постоянные с независимыми размерностями, будет выполнено условие автомодельности движения [5]. Будем считать, что эти размерные постоянные  $a$ ,  $b$  имеют размерности  $[a] = ML^k T^s$ ,  $[b] = LT^{-\delta}$ ,  $\delta$ ,  $k$ ,  $s$  — некоторые числа ( $\delta \neq 0$ ).

**2. Уравнения для автомодельных движений.** Для исследования автомодельных движений введем безразмерные переменные по формулам

$$v = \frac{r}{t} V, \quad \rho = ar^{-(k+3)}t^{-s}R, \quad p = ar^{-(k+1)}t^{-(s+2)}P \\ h_\varphi = ar^{-(k+1)}t^{-(s+2)}G_\varphi, \quad h_z = ar^{-(k+1)}t^{-(s+2)}G_z, \quad \lambda = rb^{-1}t^{-\delta}$$

В силу автомодельности безразмерные функции  $V$ ,  $R$ ,  $P$ ,  $G_\varphi$ ,  $G_z$  зависят только от  $\lambda$ . Для автомодельных движений от системы уравнений в частных производных (1.1) — (1.2) можно перейти к эквивалентной системе обыкновенных дифференциальных уравнений [3, 6] <sup>1</sup>

$$R\lambda(V - \delta)V' + \lambda H' + \lambda P' = R(V - V^2) + (k + 1)(P + G) - 2(v - 1)G_\varphi \\ \lambda \left[ (V - \delta) \frac{R'}{R} + V' \right] = s + (k - v + 3)V \\ \lambda \left[ (V - \delta) \frac{P'}{P} + \gamma V' \right] = s + 2 + (k + 1 - v\gamma)V \\ \lambda \left[ (V - \delta) \frac{G_\varphi'}{G_\varphi} + 2V' \right] = s + 2 + (k - 1)V \\ \lambda \left[ (V - \delta) \frac{G_z'}{G_z} + 2V' \right] = s + 2 + (k + 1 - 2v)V \quad (2.1)$$

где

$$G = G_z + (v - 1)G_\varphi$$

Используя свойство 1.1, методами теории размерностей [5, 6] можно показать, что система (2.1) имеет три алгебраических интеграла:

интеграл адиабатичности

$$P^\nu R^{-\nu\mu} = \kappa_1^\mu [R(V - \delta)]^{2-(\gamma-1)s+\delta[k+1-\gamma(k+3)]} \lambda^{-[2+v(\gamma-1)]s-2(k+3-\nu)} \quad (2.2)$$

<sup>1</sup> Вывод автомодельных уравнений в частном случае  $G_z = 0$ ,  $v = 2$  способом формальных подстановок был дан К. П. Станюковичем в книге [7] (стр. 237).

интегралы в замороженности

$$G_{\varphi}^{\mu} (\lambda R)^{-2\mu} = \kappa_2^{\mu} [R(V - \delta)]^{2-s-\delta(k+\delta)} \lambda^{-(k+\delta)\mu + (\nu-k-\delta)[2-s(k+\delta)]} \quad (2.3)$$

$$G_z^{\mu} R^{-2\mu} = \kappa_3^{\mu} [R(V - \delta)]^{2-s-\delta(k+\delta)} \lambda^{-(2+\nu)s-2(k+3-\nu)} \quad (2.4)$$

$$\mu = s + \delta(k + 3 - \nu)$$

Здесь  $\kappa_1, \kappa_2, \kappa_3$  — произвольные постоянные.

Если  $s + 2 - \delta(\nu - 1 - k) = 0$ , то для системы (2.1) существует интеграл энергии

$$\lambda^{\nu+2} \left[ (P + G)V + (V - \delta) \left( \frac{1}{2} RV^2 + \frac{1}{\gamma-1} P + G \right) \right] = \kappa_4 \quad (\kappa_4 = \text{const}) \quad (2.5)$$

Условия на ударной волне (1.4) также можно записать в автомодельных переменных  $V, P, R, G_{\varphi}, G_z$ .

Рассмотрим некоторые задачи, связанные с движениями проводящего газа при наличии магнитного поля, сопровождающимися ударными волнами. В дальнейшем индексом 1 будем обозначать параметры невозмущенного состояния газа, а индексом 2 — величины на фронте ударной волны со стороны возмущенной области.

**3. Гидродинамическая теория обратного пинч-эффекта.** Пусть в бесконечно проводящей среде, в которую заморожено магнитное поле  $h$ , вдоль прямой пропускается ток  $I$ , меняющийся со временем по степенному закону

$$I = \sigma_1 t^m$$

Начальная плотность газа, начальное давление в газе и начальное магнитное поле переменны

$$\rho_1 = \sigma_2 r^{-\omega}, \quad p_1 = \sigma_3 r^{-\beta}, \quad h_{\varphi 1} = \frac{1}{2} \frac{1}{\beta} \beta \sigma_3 r^{-\beta}, \quad h_{z1} = \kappa \sigma_3 r^{-\beta}, \quad v_1 = 0$$

Здесь  $\sigma_1, \sigma_2, \sigma_3$  — размерные постоянные,  $m, \omega, \beta, \kappa$  — отвлеченные числа. В силу условий бесконечной проводимости магнитное поле тока

$$h_{\varphi 0} = \frac{I^2}{2c^2 \pi r_0^2}$$

( $r_0$  — расстояние от оси симметрии до рассматриваемой точки) будет «выталкивать» газ из области, примыкающей к оси, и играть роль расширяющегося поршня с радиусом  $r_0(t)$ .

Соответствующая задача газовой динамики в настоящее время достаточно полно исследована [5, 8]. Поставленная выше задача о сжатии газа разрядом вдоль прямой линии получила название обратного пинч-эффекта [9]. Из свойства 1.3 следует, что задача об обратном пинч-эффекте будет автомодельной со скоростью расширения поршня  $U = \sigma_4 t^n$ , если между постоянными  $m, n, \omega, \beta$  существуют зависимости

$$m = n + (n + 1) \left( 1 - \frac{\omega}{2} \right), \quad \beta = \omega + \frac{2}{n + 1} - 2.$$

Случай движений, возникающих при разряде с линейным законом нарастания тока ( $m = 1, \kappa = 0, n = 0, \beta = 0$ ), был изучен экспериментально в работе американских авторов [9]. В этой работе дана также приближенная теория рассматриваемого явления, позволившая определить закон движения поршня. Эти исследования показали, что при законе нарастания тока, близком к линейному, зависимость  $r_0(t)$  мало отличается от линейной.

Полное решение этой задачи в автомодельной постановке сводится к интегрированию системы (2.1) при  $k = -3, s = 0, \delta = 1, G = 0, \nu = 2$ .

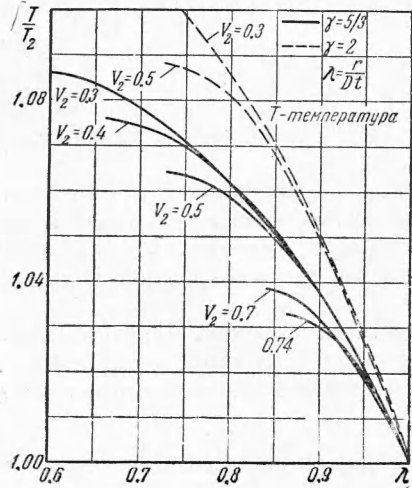
Результаты вычислений для  $\gamma = 5/3$  и  $\gamma = 2$  представлены на фиг. 1, 2.

Решение задачи об обратном пинче несколько усложняется, если начальная напряженность магнитного поля в плазме отлична от нуля.

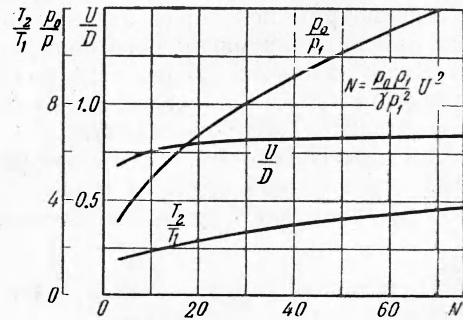
Результаты решения задачи при  $m = 1$ ,  $n = 0$ ,  $\beta = 0$ ,  $\kappa \neq 0$  для случая  $G_{z1} = 0.025$ ,  $P_1 = 0.1$ ,  $\gamma = 5/3$  и  $\gamma = 2$  даны в работе [4].

Комбинируя анализ размерностей, качественное исследование поведения решения дифференциальных уравнений и численные методы, можно дать решение задачи для широкого диапазона чисел  $n$ ,  $m$ ,  $\omega$ ,  $\beta$  при наличии начального магнитного поля в газе.

Задача о разряде вдоль прямой при линейном изменении тока со временем ( $m = 1$ ) автомодельна и при наличии ударной волны со скачком проводимости (перед ударной волной проводимость равна нулю, а за волной бесконечна). При этом может быть легко найдена излученная электромагнитная волна.



Фиг. 1



Фиг. 2

Так, если начальное электрическое поле равно нулю, а начальное магнитное поле постоянно, направлено вдоль оси симметрии и равно  $H_{z0}$ , то, используя уравнения Максвелла,

$$\frac{\partial H_z}{\partial r} = -\frac{1}{c} \frac{\partial E_\varphi}{\partial t}, \quad \frac{\partial}{\partial r}(rE_\varphi) = -\frac{r}{c} \frac{\partial H_z}{\partial t}$$

и свойство автомодельности, находим значение  $H_{z1}$  и компоненты электрического поля  $E_{\varphi 1}$  впереди ударной волны

$$H_{z1} = A \left[ \ln \left( \frac{c}{D} + \sqrt{\frac{c^2}{D^2} - \lambda^2} \right) - \ln \lambda \right] + H_{z0}, \quad E_{\varphi 1} = A \frac{1}{\lambda} \sqrt{\frac{c^2}{D^2} - \lambda^2}$$

где  $c$  — скорость света,  $A$  — произвольная постоянная, подлежащая определению при полном решении задачи.

4. Сильный взрыв в газе с учетом влияния магнитного поля. Пусть в момент  $t = 0$  в покоящемся газе вдоль прямой или вдоль плоскости происходит взрыв с выделением энергии  $\epsilon_0$  на единицу длины или площади. Цилиндрический взрыв можно рассматривать как мгновенный электрический разряд вдоль прямой. Решение задачи при отсутствии магнитного поля известно [5].

Начальное давление в газе будем считать равным нулю, начальную плотность для простоты считаем постоянной, начальное магнитное давление  $h_1 \neq 0$ . Требуется определить возникающее движение.

Рассмотрим решение этой задачи в частных случаях.

Случай а). Цилиндрический и плоский взрыв при  $h_\varphi = 0$ ,  $\gamma = 2$ .

При бесконечной проводимости среды в начальном состоянии, согласно свойству 1.2, заключаем, что решение уравнений газовой динамики  $v = v_0$ ,  $\rho = \rho_0$ ,  $p = p_0$ , удовлетворяющее условиям на ударной волне (1.3), дает возможность найти решение уравнений (1.1) — (1.2), если принять

$$v = v_0, \quad \rho = \rho_0, \quad p = p_0, \quad p = p^* - h_z, \quad h_z = \Phi(\xi) \rho^2 \quad (4.1)$$

Пренебрегая  $\rho_1^*$  в условиях на ударной волне (1.4), получим

$$v_2 = \frac{2}{3}D, \quad \rho_2 = 3\rho_1, \quad p_2^* = \frac{2}{3}\rho_1 D^2, \quad h_{z2} = 9h_{z1}$$

Будем считать  $h_{z1} = \text{const}$ . Решение для  $p^*(r, t)$ ,  $\rho(r, t)$ ,  $v(r, t)$  известно [5, 10].

Найдем произвольную функцию  $\Phi(\xi)$ . Из условий на скачке получаем

$$\frac{h_{z2}}{\rho_2^2} = \frac{h_{z1}}{\rho_1^2}, \quad \Phi(\xi_2) = \frac{h_{z1}}{\rho_1^2}$$

Отсюда следует, что можно удовлетворить уравнениям магнитной гидродинамики и условиям на ударной волне (1.4), если в решении (4.1) примем

$$h_z = \frac{h_{z1}}{\rho_1^2} \rho^2$$

Принимая во внимание вид решения аналогичной задачи в обычной газовой динамике [10], имеем

$$\begin{aligned} r &= r_2 F^{-\frac{2}{v+2}} \left[ 2 \left( \frac{3}{2} - F \right) \right]^{-\frac{v}{v+2}} \left[ 4 \left( F - \frac{3}{4} \right) \right]^{\frac{1}{v+2}}, \quad v = v_2 \lambda F \\ \rho &= \rho_2 \left[ 4 \left( F - \frac{3}{4} \right) \right]^{\frac{v}{v+2}} \left[ 2 \left( \frac{3}{2} - F \right) \right]^{\frac{v-2}{v+2}} \exp \left[ -\frac{6v}{v+2} \frac{1-F}{3/2-F} \right] \\ p &= p_2 F^{\frac{2v}{v+2}} \left[ 2 \left( \frac{3}{2} - F \right) \right]^{\frac{2(v-2)}{v+2}} \exp \left[ -\frac{6v}{v+2} \frac{1-F}{3/2-F} \right] - h_z \\ h_z &= \frac{h_{z1}}{\rho_1^2} \rho^2, \quad \frac{3}{4} \leq F \leq 1 \quad \left( D = \frac{2}{v+2} \frac{r_2}{t} \right) \end{aligned} \quad (4.2)$$

Здесь  $r_2$  — координата ударной волны.

Зависимость  $r_2(t)$  совпадает с газодинамической [5].

Для сильного взрыва в непроводящей среде со скачком проводимости из граничного условия  $h(r_2, t) = h_{z1}$  аналогично предыдущему находим

$$\Phi(\xi) = \frac{h_{z1}}{9\rho_1^2}$$

Решение задачи в этом случае дается формулами (4.2), если считать

$$h_z = \frac{h_{z1}}{9\rho_1^2} \rho^2 \quad (4.3)$$

Из (4.2) следует, что при сохранении высоких температур в центре для достаточно больших значений  $h_{z1}/\rho_1^2$  давление в окрестности фронта ударной волны ниже соответствующего давления при взрыве без магнитного поля.

Из (4.3) и (4.2) следует также, что магнитное давление при взрыве в бесконечно-проводящей среде в 9 раз больше магнитного давления при взрыве в непроводящей среде. Отметим, что для взрыва со скачком проводимости на ударной волне не учитывался эффект изменения начального поля  $H_{z1}$ , излученной электромагнитной волной [1]. Этот эффект может оказаться существенным, если характерные скорости движения частиц газа велики, а  $H_{z1}$  не мало.

*Случай б).* Цилиндрический взрыв при  $h_{z1} = 0$ ,  $h_{\varphi 1} = Br^{-2}$ .

Если магнитное поле имеет только компоненту  $h_{\varphi}$ , причем  $h_{\varphi 1} = Br^{-2}$ , то задача о цилиндрическом сильном взрыве будет автомодельна с показателями размерных постоянных  $s = 0$ ,  $k = -3$ ,  $\delta = 1/2$ . В этом случае существует интеграл энергии (2.5) и задача сводится к интегрированию одного обыкновенного дифференциального уравнения [6]. Рассмотрим ход решения задачи.



В силу автомодельности для закона движения ударной волны имеем

$$r_2 = \left(\frac{\epsilon}{\rho_1}\right)^{1/4} t^{1/2}$$

где  $\epsilon = \alpha \epsilon_0$ ,  $\alpha$  — константа, подлежащая определению. За величину безразмерной переменной  $\lambda$  примем  $r/r_2$ , т. е. считаем, что на фронте ударной волны  $\lambda = 1$ . Для определения  $\alpha$  используем интегральный закон сохранения энергии

$$\epsilon_0 = 2\pi \int_0^{r_2} \left( \frac{\rho v^2}{2} + \frac{P}{\gamma-1} + h - h_1 \right) r dr$$

Переходя к безразмерным переменным, получим

$$\alpha = 2\pi \int_0^1 \left( \frac{1}{2} R V^2 + \frac{1}{\gamma-1} P + G_\varphi - G_{\varphi_1} \lambda^{-4} \right) \lambda^3 d\lambda \quad (4.4)$$

Интегралы (2.2), (2.3), (2.5) для рассматриваемого случая примут вид

$$P = R^{\gamma-1} (V - \delta)^{-1} \lambda^{-4} \kappa_1, \quad G_\varphi = (V - \delta)^{-2} \lambda^{-4} \kappa_2 \quad (4.5)$$

$$(P + G_\varphi) V + (V - \delta) \left( 0.5 R V^2 + \frac{1}{\gamma-1} P + G_\varphi \right) = \lambda^{-4} \kappa_1$$

Используя условия (1.4) на ударной волне, найдем постоянные

$$\kappa_2 = G_{\varphi_1} \delta^2, \quad \kappa_1 = -\delta G_{\varphi_1}$$

Из интеграла замороженности в (4.5) следует, что если  $V_1 \rightarrow 0$  при  $\lambda \rightarrow 0$ , то  $G_\varphi \sim G_{\varphi_1} \lambda^{-4}$  при малых  $\lambda$ . Если ввести новую переменную  $z = \gamma P/R$ , то, используя (2.1), (4.5), получим

$$\frac{dz}{dV} = \frac{z}{\Psi(z, V)(V - \delta)} \left\{ 2(1 - \gamma V) \left[ \psi(z, V) + \frac{\gamma-2}{\gamma} z - (V - \delta)^2 \right] - \right. \\ \left. - (\gamma - 1) \left[ (V - 1)(V - \delta)V + \frac{1}{\gamma} z - 2Vz \right] \right\} \quad (4.6)$$

$$\frac{d \ln \lambda}{dV} = \frac{1}{\Psi(z, V)} \left[ \psi(z, V) + z \left( 1 - \frac{2}{\gamma} \right) - (V - \delta)^2 \right] \quad (4.7)$$

Здесь

$$\psi(z, V) = (V - \delta) V^{-2} \left[ \frac{1}{\gamma} z \left( 2V - \frac{1}{\gamma-1} \right) - 0.5 V^2 \right]$$

$$\Psi(z, V) = V(V - 1)(V - \delta) + \frac{1}{\gamma} z - 2zV$$

Основная трудность задачи заключается в решении уравнения (4.6), так как по известной функции  $z(V)$  при помощи (4.7), (4.5) достаточно просто находятся все необходимые зависимости. Граничным условием для интегрирования (4.6) должна служить зависимость  $z_2 = z(V_2)$ , выполняющаяся на фронте ударной волны.

Более подробно рассмотрим случай  $\gamma = 2$ . Если сделать замену  $y = 1/z$  и считать  $\gamma = 2$ , то уравнение (4.6) примет вид

$$\frac{dy}{dV} = y \frac{V^2 [(V - 1)(V - 0.5)Vy + 0.5 - 2V] + 4(V - 0.5)^2 (V - 0.5 - V^3 y)}{V^2 (V - 0.5) [(V - 1)(V - 0.5)Vy + 0.5 - 2V]} \quad (4.8)$$

Из условий на ударной волне найдем связь  $y_2(V_2)$ ,  $G_{\varphi_1}(V_2)$

$$y_2(V_2) = \left[ V_2^2 + \frac{1 - 3V_2}{8} \left( 2 + 4V_2 + \frac{1}{V_2 - 0.5} \right) \right]^{-1} \quad (4.9)$$

$$G_{\varphi_1} = \frac{1 - 3V_2}{8}$$

В предположении  $D^2 > 2h_{\varphi_1}/\rho_1^2$  найдем область изменения величины  $V$  на фронте ударной волны  $0 < V_2 < 1/3$ .

Исследование уравнения (4.8) показывает, что центру симметрии соответствует точка  $V = 0, y = 0$ . В этой точке уравнение (4.8) имеет особенность, причем интегральные кривые входят в особую точку по направлениям осей координат. Уравнение (4.8) для малых значений  $V$  имеет асимптотическое решение

$$y = C_1 (V - 0.5) [1 - 4V]^{-2} \exp\left(-\frac{2}{V}\right) \quad (4.10)$$

где  $C_1$  — произвольная постоянная.

Таким образом, задача сводится к интегрированию уравнения (4.8) от точки  $V_2, y_2$ , заданной условием (4.9), до особой точки  $V = 0, y = 0$  с асимптотикой (4.10) в окрестности этой точки.

После того как  $y(V)$  найдена, все необходимые зависимости получим из (4.4), (4.5) и условий на скачке.

Кривая  $y(V)$  для случая  $V_2 = 0,3, y_2 = 14,8$  представлена на фиг. 3.

Аналогично исследуется общий случай произвольных  $\gamma$ . Для произвольных  $\gamma$  асимптотическая формула типа (4.10) имеет вид

$$y = C_1 V^{-\frac{2(\gamma-2)}{\gamma-1}} [V - 0.5]^{-\frac{3-2\gamma}{\gamma-1}} [1 - 2\gamma V]^{-\frac{\gamma}{\gamma-1}} \exp\left[-\frac{2}{(\gamma-1)V}\right]$$

*Случай в).* Цилиндрический взрыв при  $h_{z1} \neq 0, h_{\phi 1} = Br^{-2}$ .

Будем считать  $h_{z1} = \text{const}, \gamma = 2$ . В рассматриваемом случае решение задачи о сильном цилиндрическом взрыве найти достаточно просто, если решена соответствующая задача предыдущего раздела.

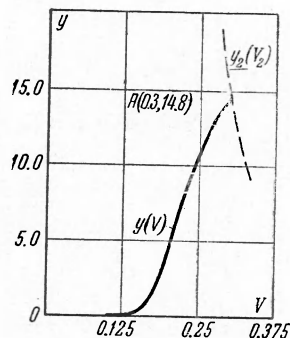
Обозначим решение автомодельной задачи с  $h_{\phi 1} = Br^{-2}, h_{z1} = 0, \gamma = 2$  так:  $v = v^{(1)}, p = p^{(1)}, h_{\phi} = h_{\phi}^{(1)}, \rho = \rho^{(1)}$ . В граничных условиях на ударной волне (1.4) пренебрегаем величиной  $p_1 + h_{z1}$  по сравнению  $p_2 + h_2$ . Тогда, согласно свойству 1.2 уравнений магнитной газодинамики, получим решение интересующей нас задачи, если примем

$$v = v^{(1)}, \quad p = p^{(1)} - h_z, \quad \rho = \rho^{(1)}, \quad h_z = \frac{h_{z1}}{\rho_1^2} \rho^2, \quad h_{\phi} = h_{\phi}^{(1)}$$

Поступила  
10 VI 1960

#### ЛИТЕРАТУРА

- Куликовский А. Г., Любимов Г. А. О магнитогидродинамических ударных волнах, ионизирующих газ. ДАН, 1959, т. 129, № 1.
- Голицин Г. С. Некоторые вопросы динамики и нагрева проводящей среды в магнитном поле. ЖЭТФ, 1959, т. 37, вып. 4.
- Коробейников В. П. О неустановившихся автомодельных движениях газа в магнитном поле. «Вопросы магнитной гидродинамики и динамики плазмы». Тр. конференции, Рига, 1959.
- Коробейников В. П., Рязанов Е. В. Некоторые решения уравнений одномерной магнитной гидродинамики и их приложения к задачам о распространении ударных волн. ПММ, 1960, т. XXIV, вып. 1.
- Седов Л. И. Методы подобия и размерности в механике, 4-е изд., М., 1957.
- Коробейников В. П. Одномерные автомодельные движения проводящего газа в магнитном поле. ДАН, 1958, т. 121, № 4.
- Баум Ф. А., Каплан С. А., Станюкович К. П. Введение в космическую газодинамику. М., 1958.
- Кочина Н. Н., Мельникова Н. С. О неустановившемся движении газа, вытесняемого поршнем без учета противодавления. ПММ, 1958, т. XXII, вып. 4.
- Anderson O. A., Furth H. P., Stone J. M., Wright R. E. Inverse pinch effect. Phys. of Fluids, 1958, vol. 1, № 6.
- Коробейников В. П., Рязанов Е. В. Представление решения задачи о точечном взрыве в газе в особых случаях. ПММ, 1959, т. XXIII, вып. 2.



Фиг. 3